

FIG. 1

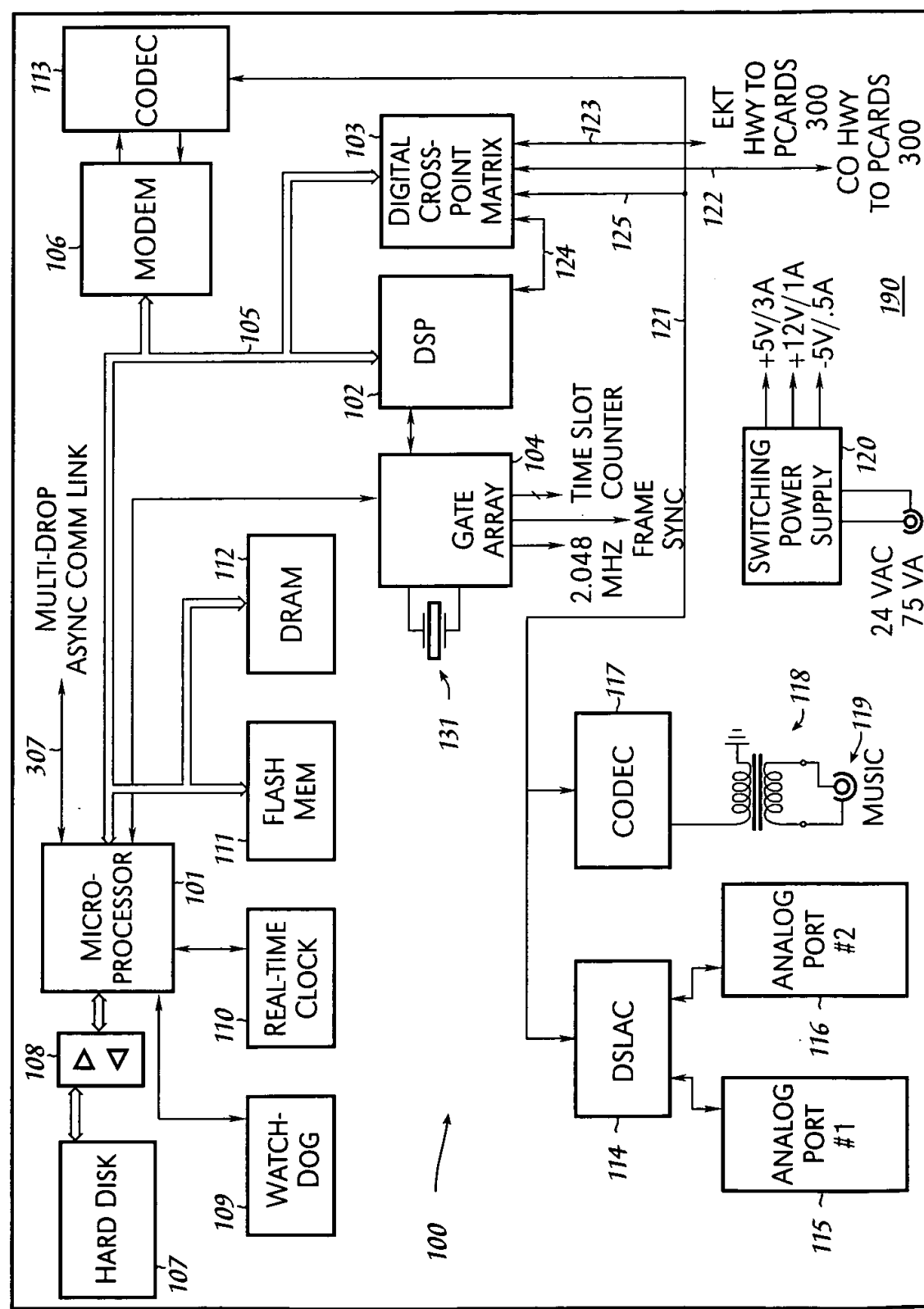


Fig. 1

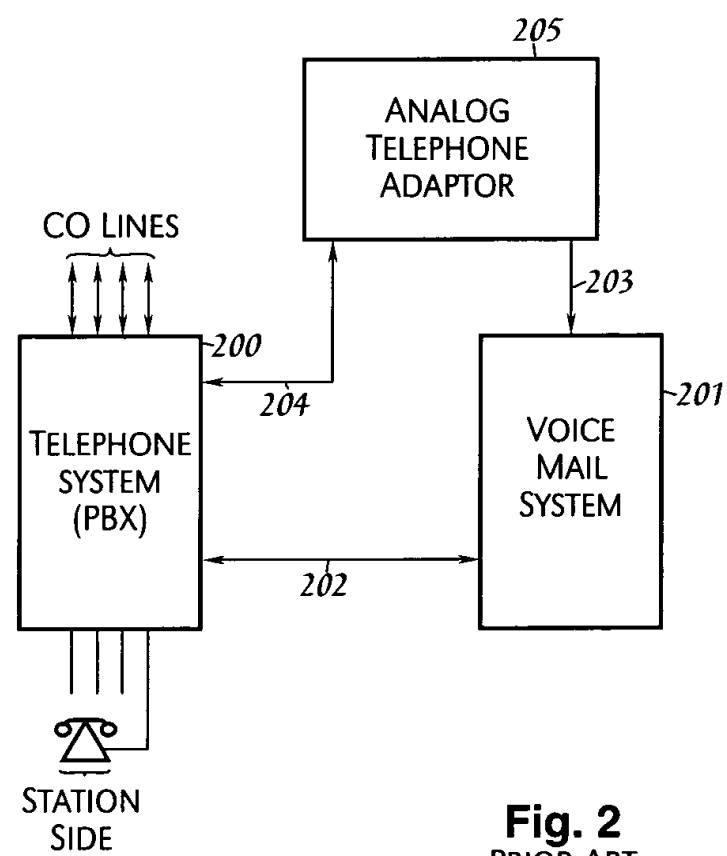


Fig. 2
PRIOR ART

3/18
E. SUDER ET AL.
16312-P001US

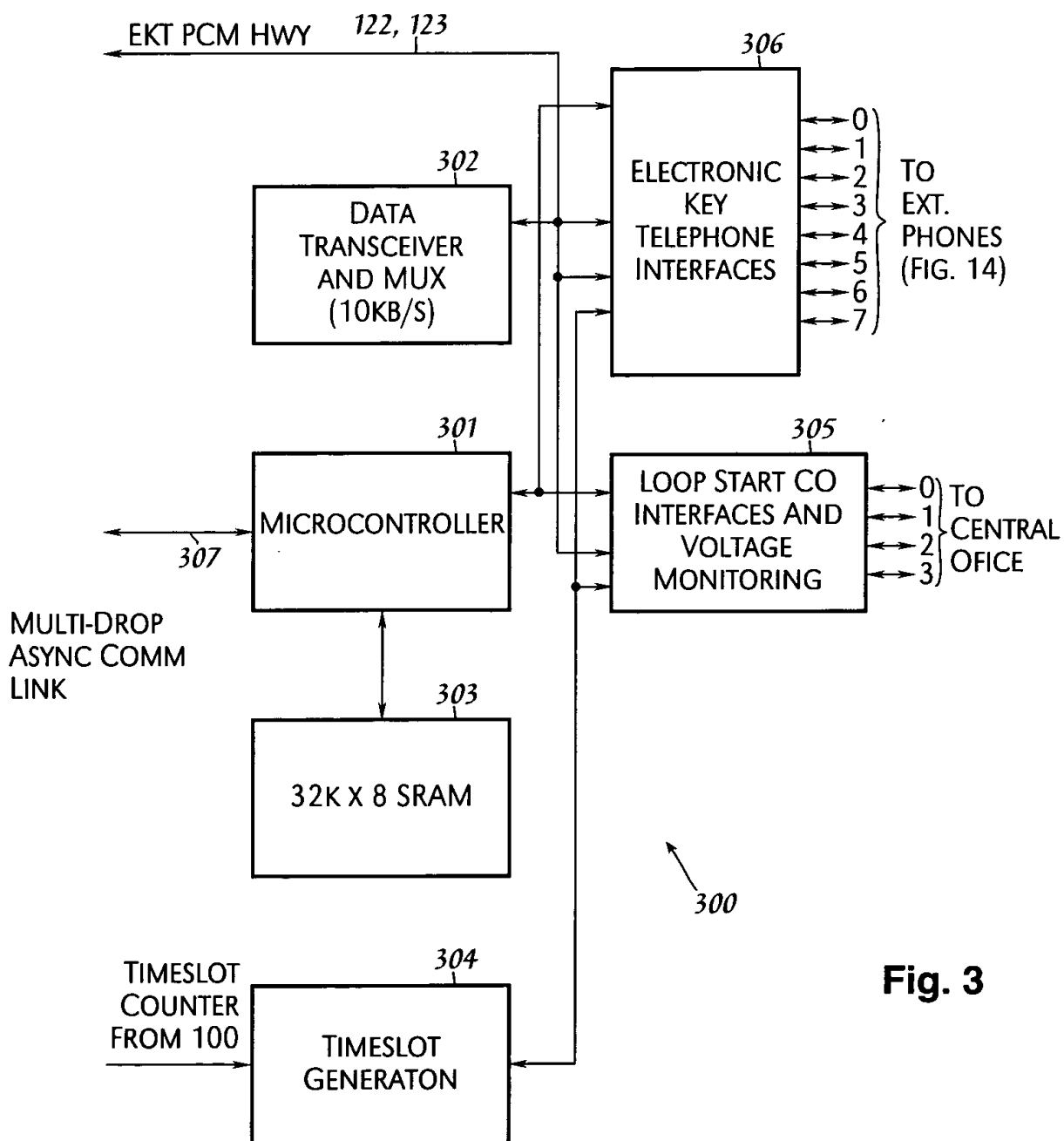
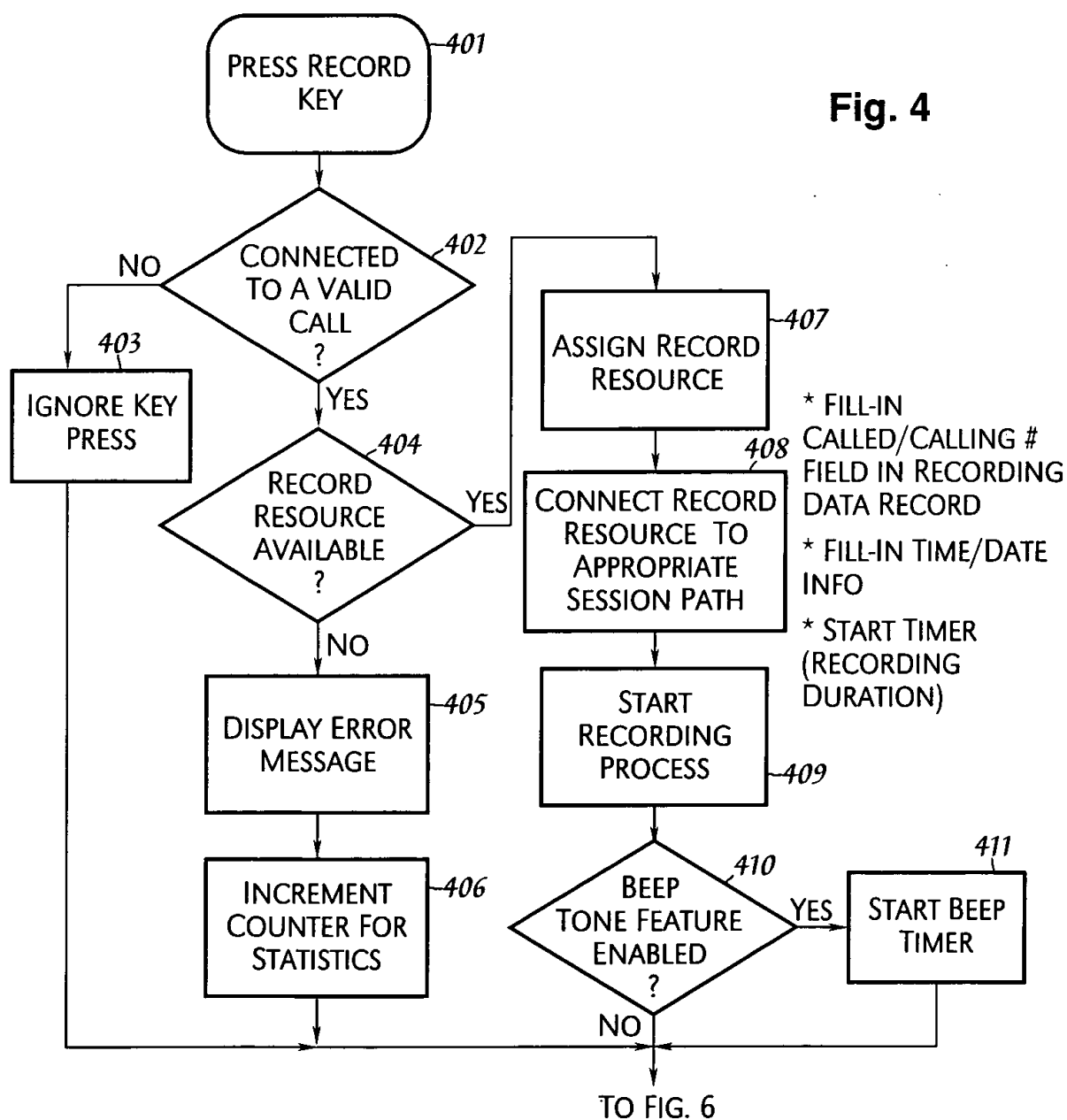


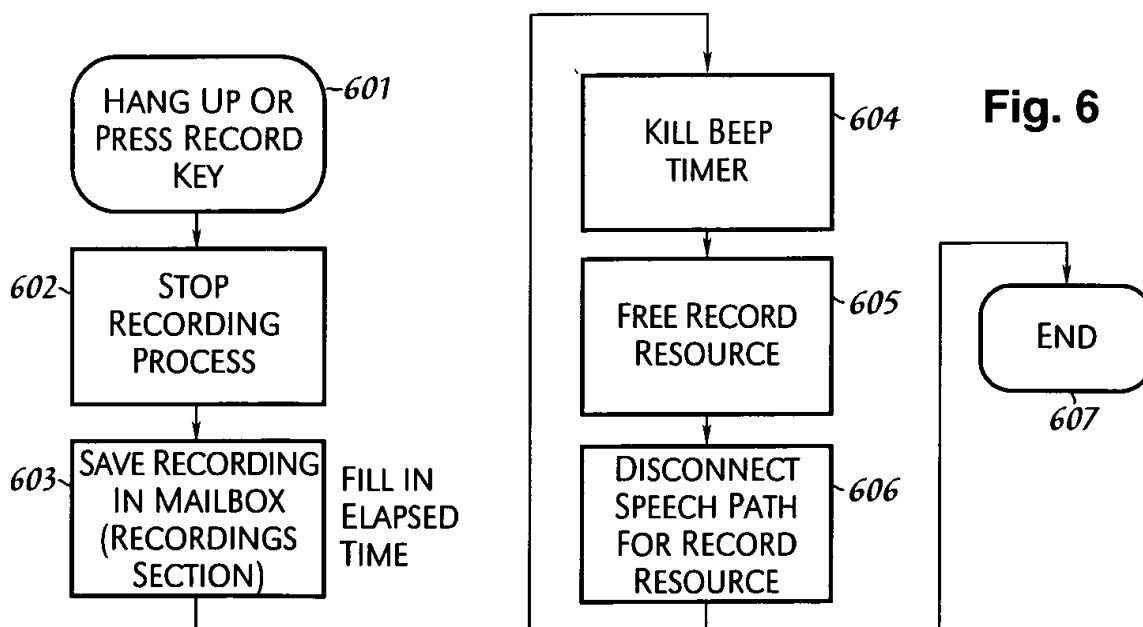
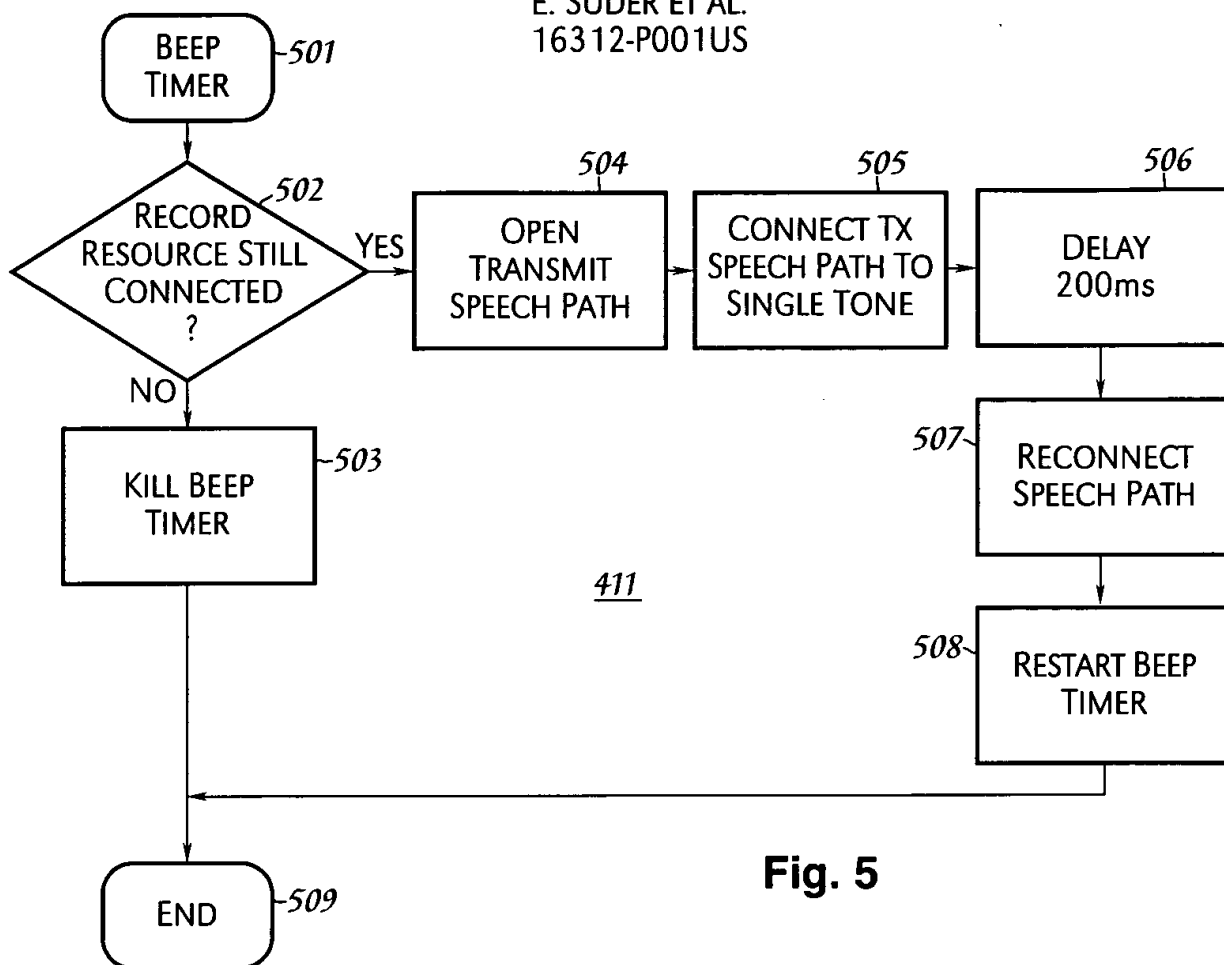
Fig. 3

Fig. 4



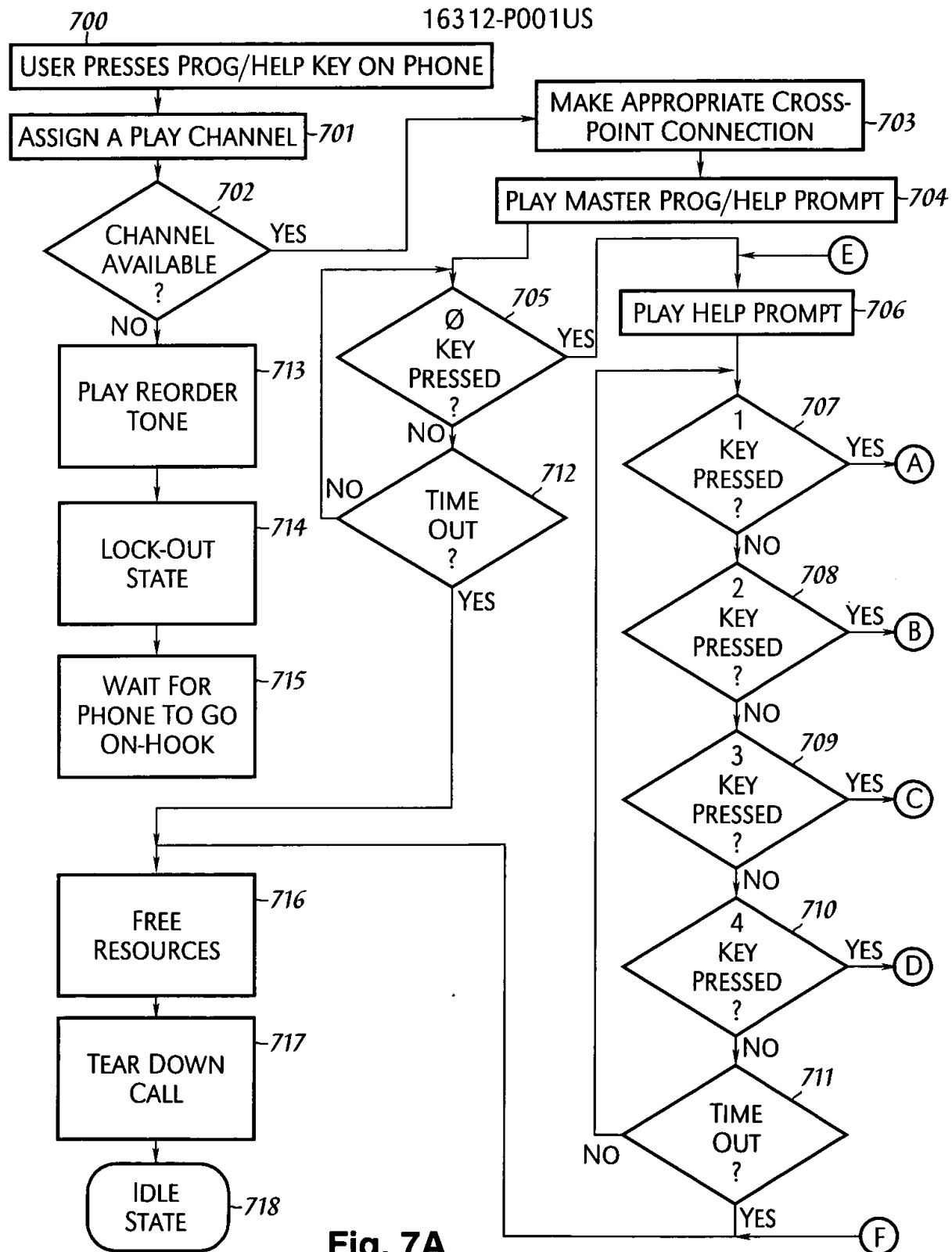
5/18

5/18
E. SUDER ET AL.
16312-P001US



6818

6/18
E. SUDER ET AL.
16312-P001US



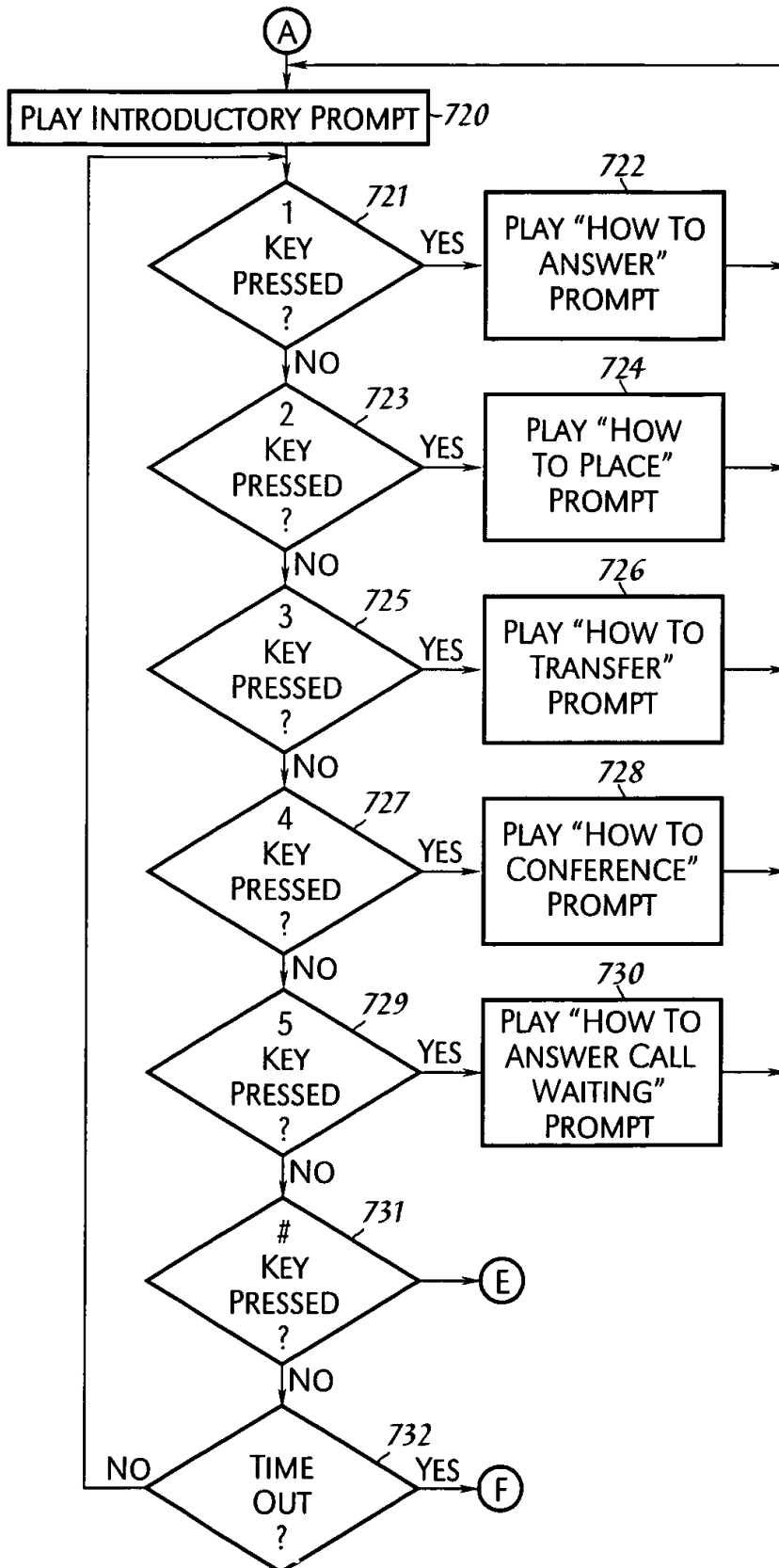


Fig. 7B

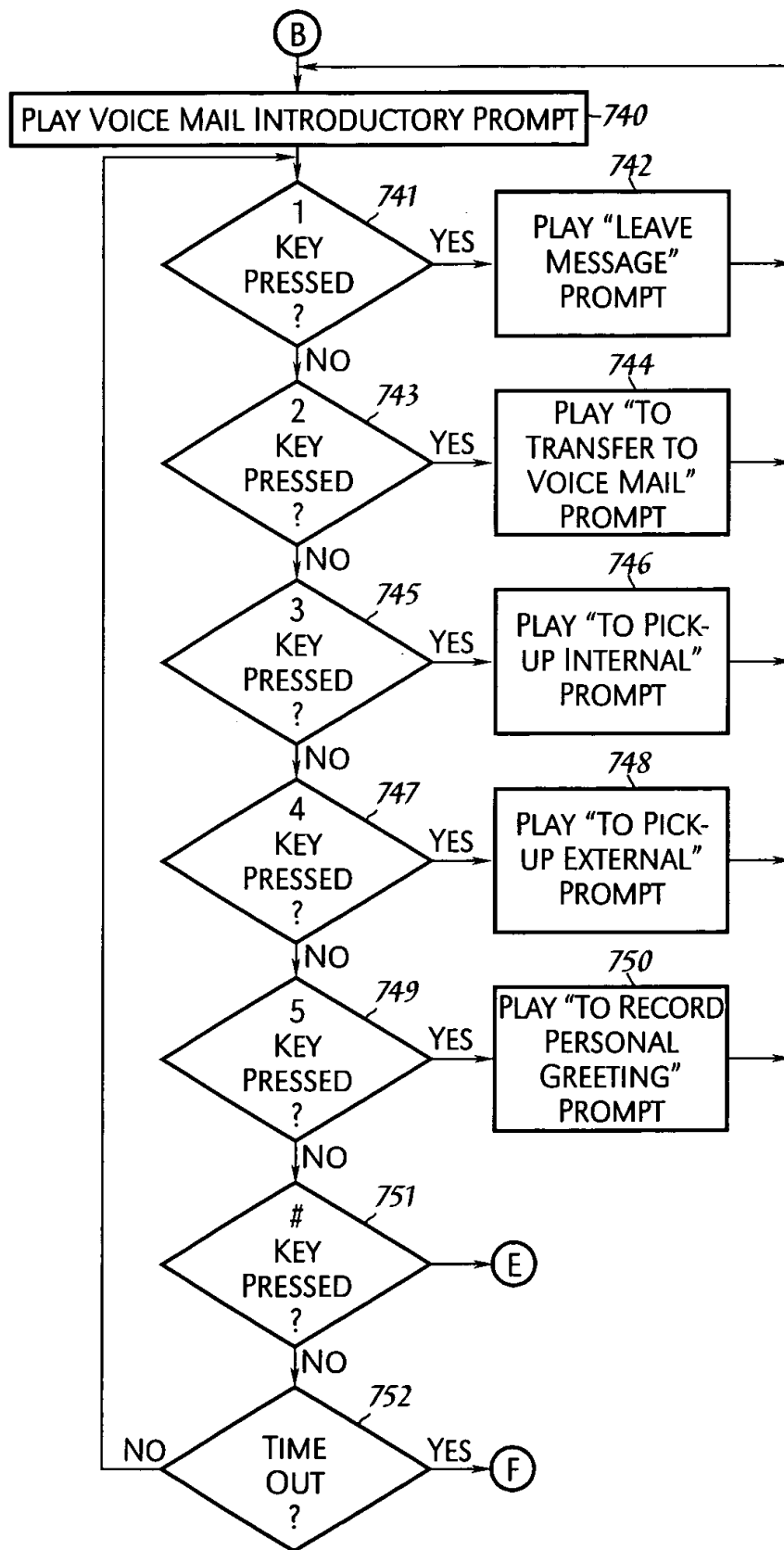


Fig. 7C

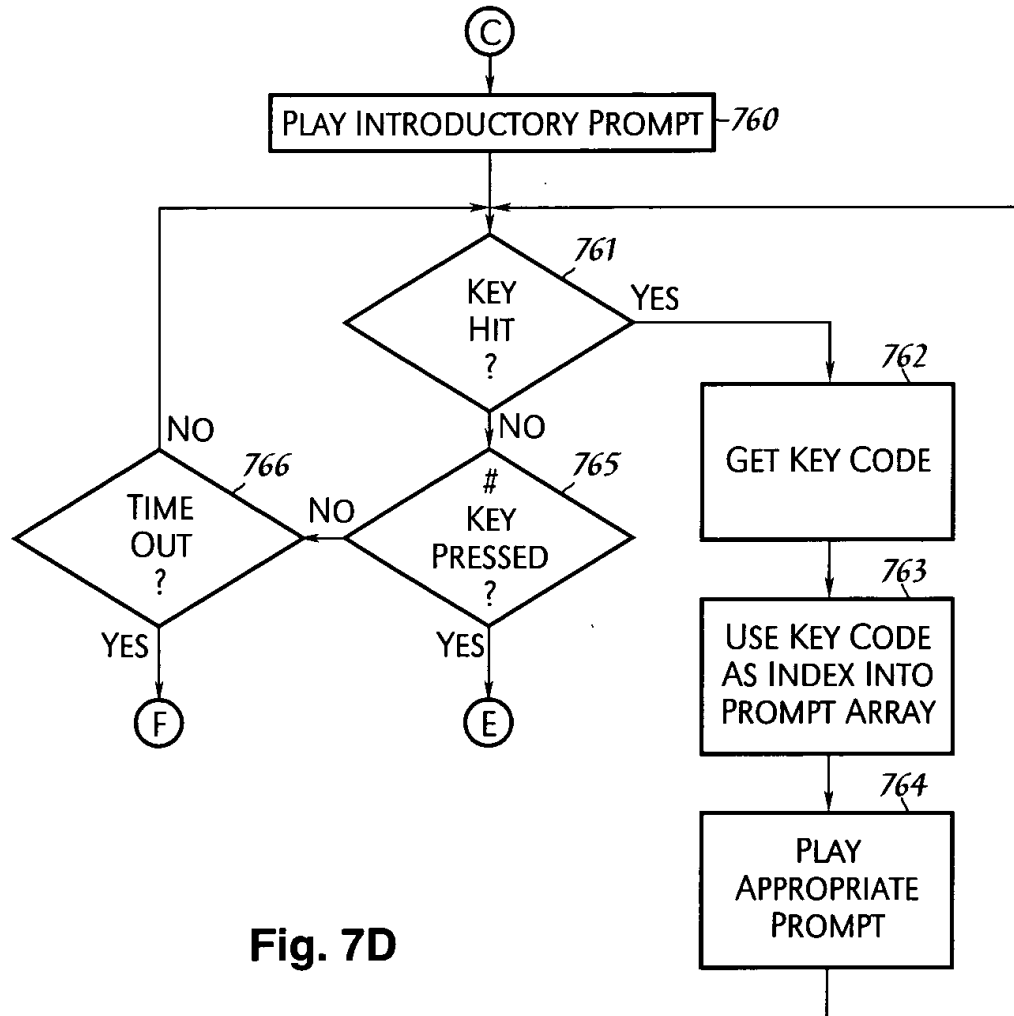


Fig. 7D

10/18
E. SUDER ET AL.
16312-P001US

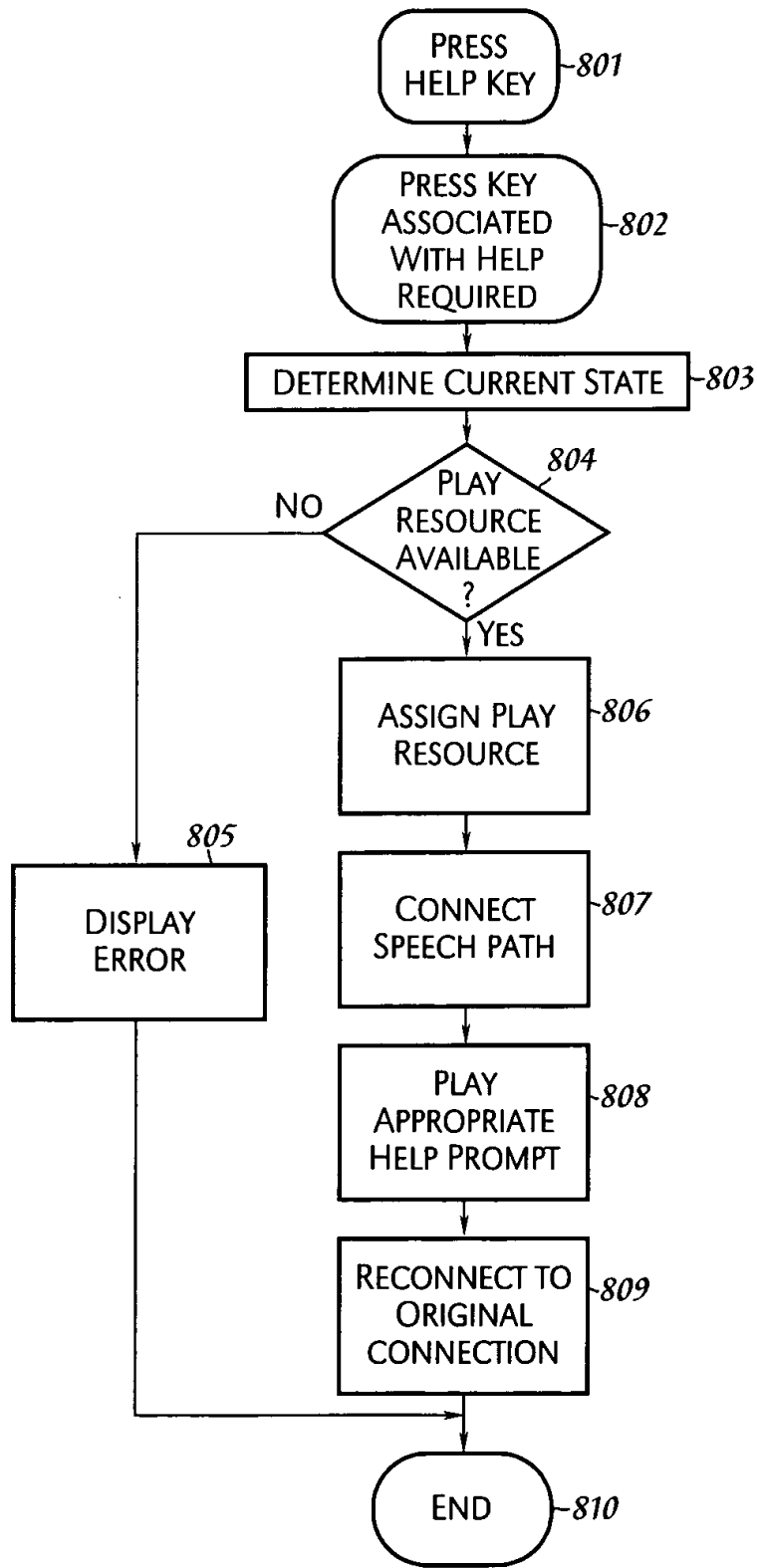


Fig. 8

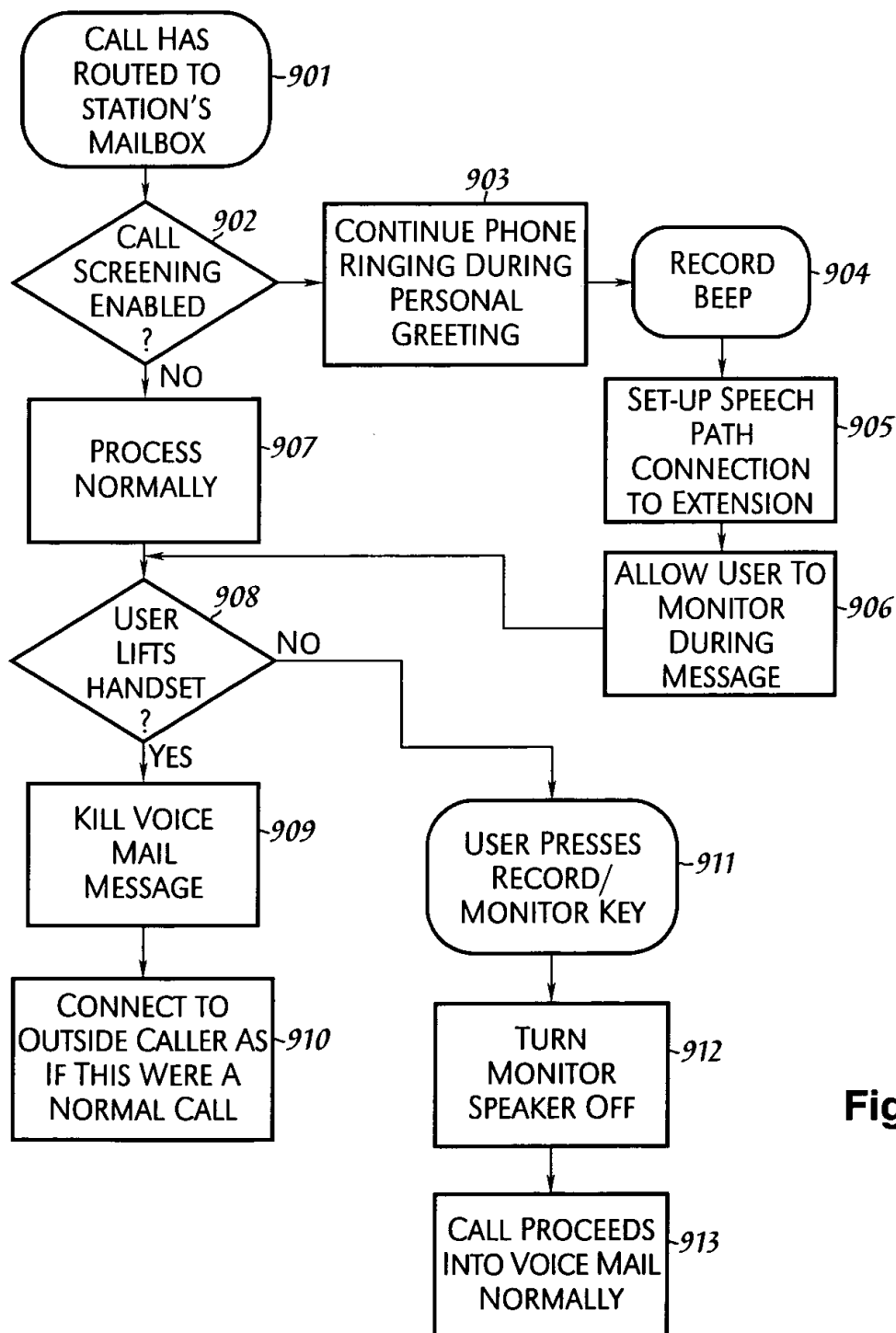


Fig. 9

12/18

12/18
E. SUDER ET AL.
16312-P001US

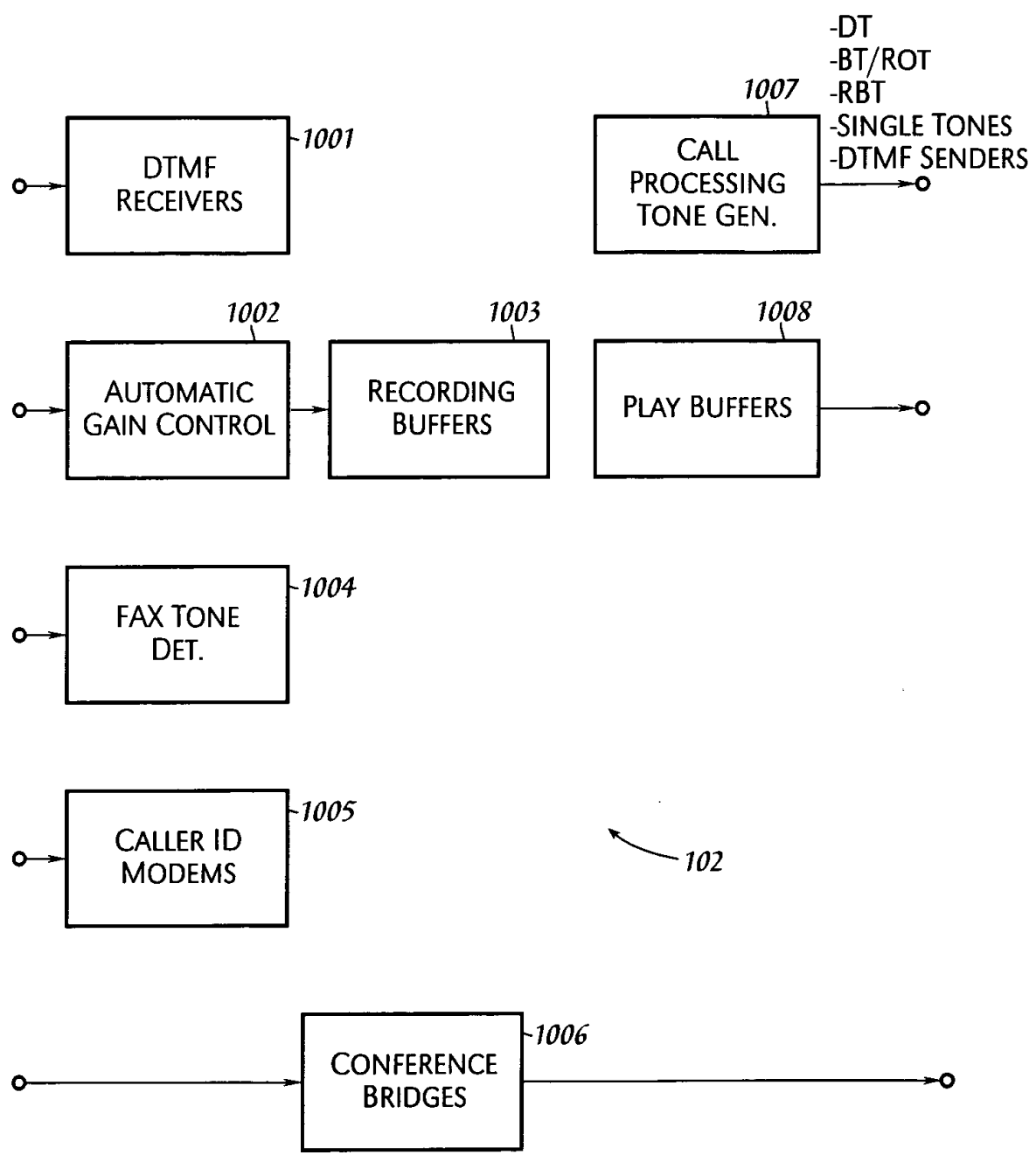


Fig. 10

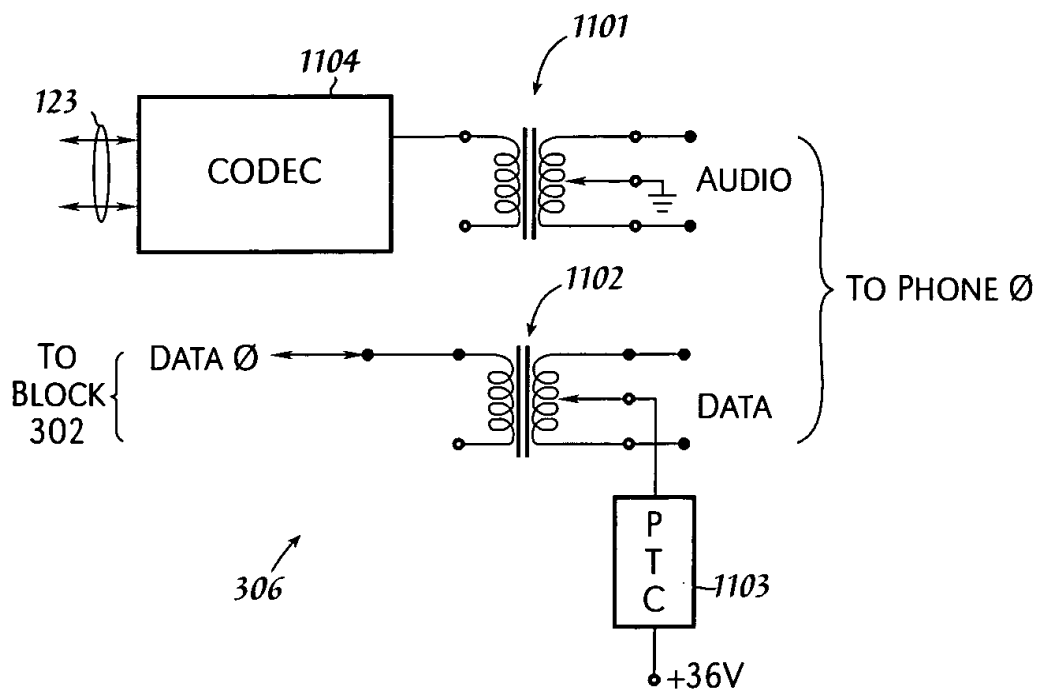


Fig. 11

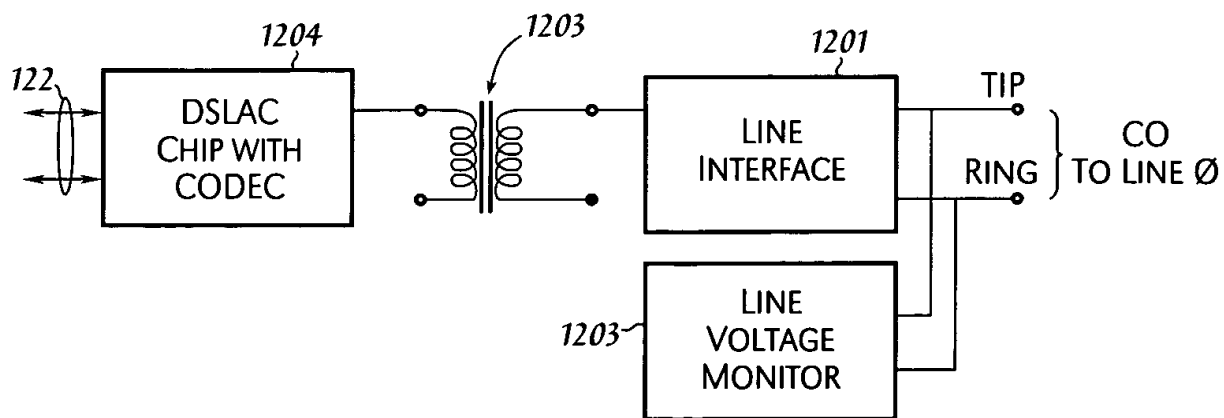


Fig. 12

[illegible]

15/18
E. SUDER ET AL.
16312-P001US

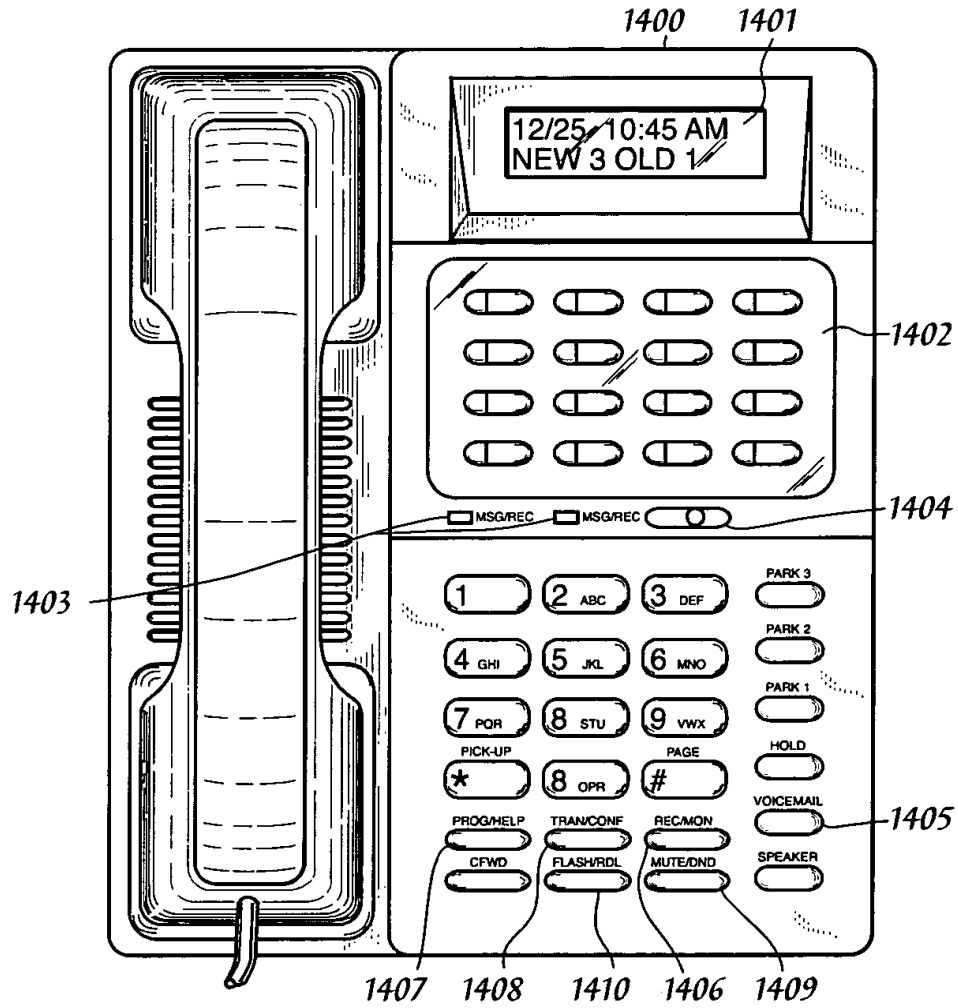


Fig. 14

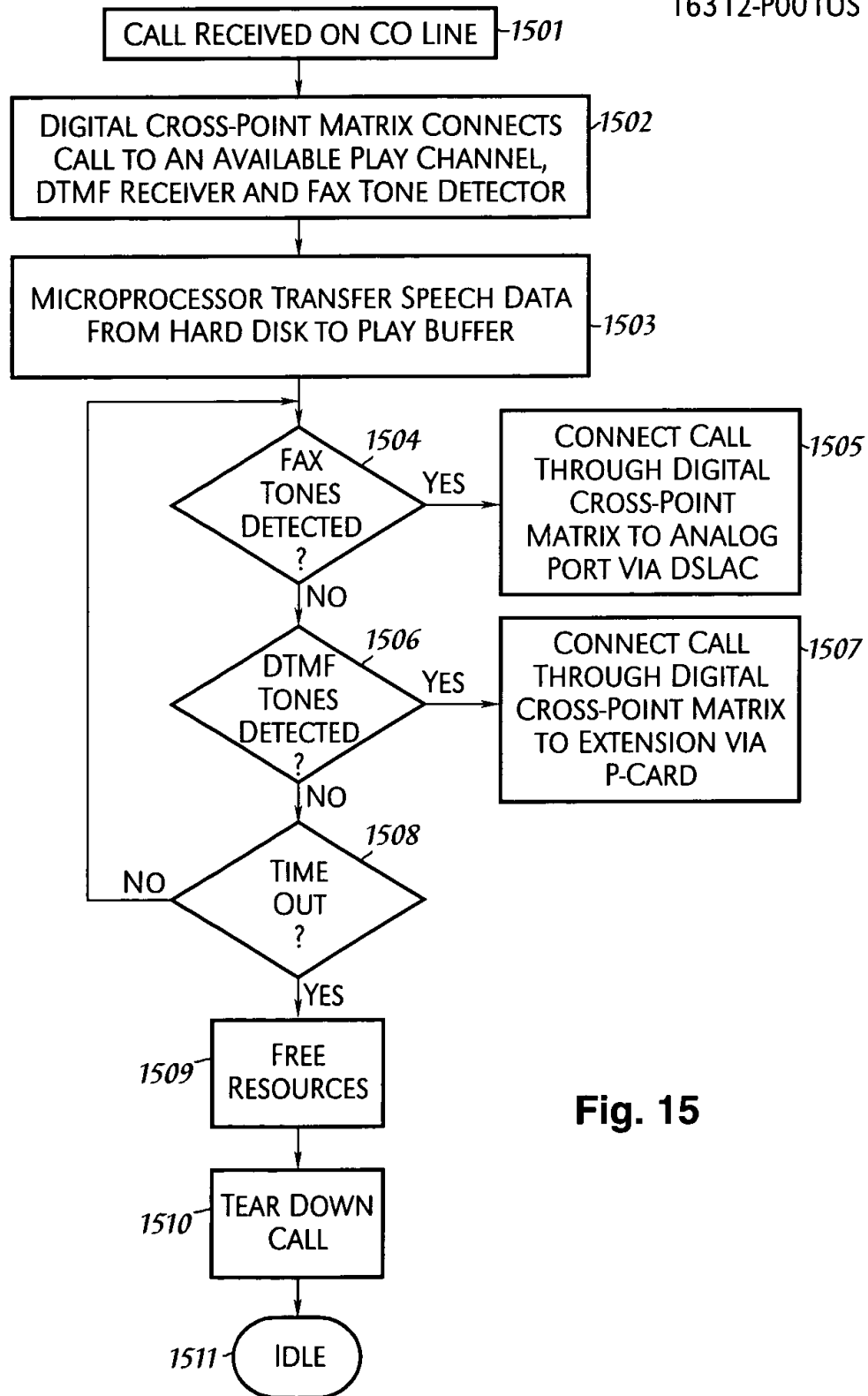


Fig. 15

Fig. 16

